

بررسی مدل‌های همدمای جذب بر قابلیت حذف ناخالصی‌های ملاس رقیق چغندرقند با استفاده از کربن فعال پودری

بیوک آقا فرمانی^{۱*}، صمد بدبک^۱، سعید داداشی^۲

۱- استادیار گروه علوم و صنایع غذایی، دانشکده کشاورزی و منابع طبیعی اهر، دانشگاه تبریز، تبریز، ایران

۲- استادیار گروه علوم و صنایع غذایی، دانشکده کشاورزی، دانشگاه تبریز، تبریز، ایران

(تاریخ دریافت: ۹۸/۱۱/۲۳ تاریخ پذیرش: ۹۹/۰۵/۱۱)

چکیده

کربن فعال پودری ظرفیت جذب بالایی داشته و دارای سطح غیرقطبی قابل توجهی است. نیروهای سطح (واندروالس و لاندن) جذب قوی‌تری را بین سطح کربن و ناخالصی‌ها نسبت به ملکول‌های موجود در ملاس رقیق به وجود می‌آورد. هدف این پژوهش حذف انواع ناخالصی‌ها مانند ترکیبات رنگی، عوامل کدورت‌زا، ترکیبات فنولی، آنتوسیانین و پروتئین ملاس رقیق چغندرقند (ملاس رقیق چغندرقند٪۳۵) با استفاده از کربن فعال پودری در چهار سطح (۰/۱۳، ۰/۷۸، ۰/۱۳ و ۰/۸۳ g ملاس رقیق) در pH ۴/۵ بود. برای پیش‌بینی کاهش ناخالصی‌های ملاس رقیق چغندرقند، مدل‌های همدمایی جذب فرونالیچ و لانگمویر مورد بررسی قرار گرفت. نتایج بررسی همدمایهای تعادلی جذب بر اساس ضریب تبیین و ظرفیت جذب نشان داد که جذب ناخالصی‌های مانند ترکیبات رنگی ($R^2=0/۹۶۰۵$) و ظرفیت جذب ($R^2=0/۷۹۴$)، ترکیبات فنولی ($R^2=0/۷۶۰۵$) و ظرفیت جذب ($R^2=0/۹۷۵۵$) و پروتئین ($R^2=0/۹۶۷۹$) از مدل فرونالیچ پیروی کرد. عوامل کدورت‌زا و ترکیبات آنتوسیانینی از هیچ کدام از مدل‌های بررسی شده تبعیت نکرد.

کلید واژه‌گان: ملاس رقیق چغندرقند، همدمایی جذب، کربن فعال پودری، ناخالصی.

*مسئول مکاتبات: bfarmani@tabrizu.ac.ir

است که بیشترین عمل رنگبری و ناخالصی‌زدایی توسط کربن فعال پودری با مقادیر متفاوت کربن فعال در طی زمان تماس ۱۰–۱۵ min بوده که به عنوان نقطه تعادل بین فاز جامد و محلول می‌باشد و بعد از آن باصرف زمان بیشتر، ناخالصی بیشتری از محلول قندی جداسازی نمی‌شود^[۷].

مهم‌ترین ویژگی کربن فعال ماهیت غیرقطبی بودن سطح آن است. نیروهای سطح مانند واندروالسی^۱ جذب قوی‌تری را بین سطح کربن و ملکول‌های رنگی نسبت به ملکول‌های رنگی و لیکور قند به وجود می‌آورند. ملکول‌های رنگی درشت در سطح کربن فعال در نقاط متعدد به طور قوی جذب و نگه داشته می‌شوند. ناحیه سطحی وسیع ($5000\text{--}20000\text{ m}^2\text{ g}^{-1}$) قابل استفاده همراه با ساختار متخلخل نشان‌دهنده این است که مقادیر زیاد ناخالصی ممکن است قبل از اشباع کربن فعال، جذب شود^[۸].

در خالص‌سازی ویناس چغندرقند با استفاده از انواع کربن فعال تجاری، برای جذب و حذف ترکیبات پلی‌فلنی و رنگ تیره مطالعات زیادی انجام شده است. تیمار ویناس چغندرقند با کربن فعال پودری به عنوان یک مرحله ضروری برای استفاده از رزین‌های تبادل یونی برای تکمیل مراحل بعدی فرآیند خالص‌سازی بیان شده است. کاکیورت و همکاران (۲۰۰۸) گزارش کردند که pH پایین (۳ pH) کارآیی خوبی در حذف انواع ترکیبات آلی و پلی‌فلنی دارد^[۹].

امروزه برای توصیف رفتار جاذب، معادلات همدمای جذب مختلفی توسعه پیدا کرده است. به این منظور همدماهی‌های جذب لانگمویر و فرون‌دیلیج مورد بررسی قرار می‌گیرد که در این خصوص از داده‌های بدست آمده از آزمایشات تجربی استفاده می‌شود. جذب در یک سیستم جامد-مایع شامل جذب ماده حل شدنی از محلول و تجمع آن در سطح ماده جامد است. در این حالت بین غلظت ماده حل شدنی موجود در محلول با غلظت آن در سطح ماده جامد تعادل دینامیکی ایجاد می‌شود. نسبت توزیع ماده حل شدنی بین دو فاز تابعی از غلظت ماده حل شدنی موجود نظر، غلظت و ویژگی‌های مواد حل شدنی رقیب و ویژگی‌های محلول است. بهترین روش برای بیان این توزیع، تعیین مقدار ماده حل شدنی جذب شده در واحد جرم جاذب به عنوان تابعی

۱- مقدمه

ترکیبات رنگی در طی استخراج و خالص‌سازی شربت خام چغندرقند و در طی مراحل مختلف فرآیند تصفیه تولید می‌شوند. در فرآیند دیفوژیون ترکیبات رنگی ملانوئیدین‌ها، ملانوئیدین‌ها، ترکیبات رنگی حاصل از تجزیه هگروزها در محیط قلیایی، کارامل‌ها و ترکیبات رنگی‌های دار تولید می‌شوند. طی مراحل تبخیر و کریستالیزاسیون هم ترکیبات رنگی از نوع ملانوئیدین‌ها و کارامل‌ها از طریق واکنش‌های غیرآنژیمی حاصل می‌شوند [۱ و ۲].

روش‌های زیادی مانند احیاء و تهشیینی، تبادل یونی، الکترولیز، اسمر معکوس، استخراج با حلال، جذب سطحی و ترسیب الکتروشیمیایی برای حذف ناخالصی‌ها از یک محیط آبی پیشنهاد شده است. لذا در سال‌های اخیر روش‌های با کارآیی بالا و هزینه پایین جایگزین روش‌های با کارآیی پایین و پر هزینه برای حذف ناخالصی‌ها شده است^[۳]. درین روش‌های جذب سطحی، کربن فعال بهترین و بیشترین جذب را در حذف انواع ناخالصی‌ها نشان داده است^[۴]. جذب سطحی می‌تواند روشی مفید و کم هزینه برای جداسازی انواع ناخالصی‌ها از ملاس باشد. این روش یک فرآیند انتقال جرم ماده از فاز مایع به سطح جامد است. سطح جاذب مورد استفاده باید متخلخل و دارای سطح ویژه زیادی باشد. کربن فعال به دلیل داشتن سطح تماس زیاد به طور مؤثری می‌تواند انواع ناخالصی‌های شیمیایی مانند ترکیبات رنگزا و غیره را از فازهای مایع از طریق جذب سطحی حذف کند. به طوری که کربن فعال به طور وسیع برای حذف ترکیبات آلی از پساب و حذف رنگ در تصفیه‌خانه‌های قند استفاده می‌شود [۵ و ۶].

ترکیبات رنگی ملانوئیدینی موجود در ملاس حاصل از صنایع قند و پساب صنایع تخمیری در صورت تخلیه به داخل آب باعث آلودگی سیستم منابع آب می‌شوند. ملانوئیدین به علت داشتن رنگ قهوه‌ای تیره، مانع از نفوذ نور خورشید به داخل آب شده و از فتوسترنز گیاهان دریابی جلوگیری می‌کند. در نتیجه یافتن عمل شرایط غیر هوایی ایجاد شده و اکثر گیاهان دریابی هوایی از بین می‌روند^[۵]. با توجه به بررسی حذف رنگ و سایر ناخالصی‌ها از محلول‌های قندی با مقادیر متفاوت کربن فعال، مشاهده شده

1. van der Waal's forces

شده از کاغذ صافی ۲ لایه (آلمانی کاهی، پرزدار و نقوش دار بر جسته، بدون خاکستر با مارک MN و تیپ (۲۲۰) استفاده شد. در مرحله دوم، مدل های همدما بی جذب فروندلیچ و لانگمویر برای پیش بینی جذب ترکیبات رنگی، کدورت، فلن، آنتوسیانین پروتئین، همراه با شفافیت با توجه به داده های تجربی بدست آمده از تیمار ملاس رقیق چغnder قند بررسی شد.

۲-۲- آزمایشات فیزیکی و شیمیایی

۲-۲-۱- تعیین بریکس و pH

بریکس (درصد مواد جامد محلول) نمونه ها در شرایط آزمایشگاهی (20°C) با رفراکтомتر رومیزی (اتاگو، مدل NAR ۱T، ژاپن) اندازه گیری شد. برای اندازه گیری pH از pH متر (هاننا، مدل 211، آمریکا) بعد از کالیبره کردن با بافرهای ۷ و ۴ استفاده شد [۱۲].

۲-۲-۲- اندازه گیری رنگ محلول

مقدار جذب نمونه های صاف و خوش شده ($\text{pH}=7$) با استفاده از دستگاه اسپکترو فوتومتر (جنوی، مدل 6405 UV/Vis انگلستان) در طول موج 420 nm و اندازه گیری شد. در نهایت مقدار رنگ نمونه ها بر حسب واحد ایکومزا محاسبه شد [۱۲].

۲-۲-۳- تعیین مقدار کدورت

کدورت نمونه ها با تعیین مقدار جذب در طول موج 900 nm با دستگاه اسپکترو فوتومتر (جنوی، مدل 6405 UV/Vis انگلستان) و بر حسب NTU محاسبه گردید [۱۳].

۲-۲-۴- اندازه گیری شفافیت

شفافیت نمونه ها با اندازه گیری درصد میزان نور عبوری در nm در دمای اتاق با دستگاه اسپکترو فوتومتر مشخص شد [۱۴].

۲-۲-۵- تعیین مقدار پروتئین

از روش برادرورد در طول موج 595 nm با اسپکترو فوتومتر برای اندازه گیری پروتئین استفاده شد [۱۵]. برای بیان مقدار پروتئین از منحنی استاندارد رسم شده با استفاده از پروتئین آلبومین سرم گاوی استفاده گردید.

۲-۲-۶- مقدار فلن کل

فلن نمونه ها با روش فولین_سیوکالتو [۱۶] با استفاده از دستگاه اسپکترو فوتومتر در طول موج 765 nm اندازه گیری شد. برای بیان

از غلظت باقیمانده ماده حل شده در حال تعادل در دمای ثابت می باشد، به این بیان همدما بی جذب گفته می شود. بنابراین همدما بی جذب برای تعیین ظرفیت تثویریکی جذب یک و یا تعداد ناخالصی مشخص به کار می رود که در صنعت قند برای پیش بینی حذف انواع ناخالصی ها کاربرد دارد [۱۰ و ۱۱].

هدف از این مطالعه، ارزیابی همدما بی جذب انواع ناخالصی های ملاس نهایی رقیق شده چغnder قند در سیستم واقعی با استفاده از غلظت های مختلف کرین فعال پودری به عنوان جاذب بود و بررسی برآش مدل های لانگمویر و فروندلیچ با داده های تجربی بود.

۲- مواد و روش ها

۲-۱-۲- آماده سازی نمونه های ملاس رقیق چغnder قند

ملاس نهایی چغnder قند ($\text{pH} = 8/9$) از کارخانه قید میاندوآب تهیه شد. مواد شیمیایی با درجه آنالیتیک از شرکت مرک و سیگما آلمان تهیه شدند. برای تهیه ملاس رقیق ($35\%/\text{w/w}$) استفاده شد. مهم ترین ویژگی های ملاس رقیق چغnder قند، درصد ساکاروز بالا ($18/1$ ٪)، رنگ ($56255/27$ ٪)، کدورت ($45/85$ NTU)، شفافیت ($24\% \text{ T}$ ٪)، فلن کل (معادل $83/9\text{ mg}$ اسید گالیک در 100 mL نمونه)، آنتوسیانین کل ($1/469\text{ mg}$ در 100 g نمونه) و پروتئین (معادل 211 mg پروتئین آلبومین سرم گاوی در 100 mL نمونه) بودند.

در مرحله اول، تاثیر کرین فعال پودری در 4 سطح ($0/78$ ، $0/91$ و $1/13$ و $1/83\text{ g}$) در $4/5\text{ pH}$ (از محلول غلیظ اسید سیتریک برای تغییر pH ملاس رقیق استفاده شد) بر میزان ترکیبات رنگی، کدورت، شفافیت، فلن کل، آنتوسیانین کل و پروتئین ملاس رقیق (35% نور دبررسی قرار گرفت. شرایط عملیاتی برای هر مرحله شامل: دما: 75°C (افزایش دما با استفاده از بن ماری بوچی، مدل RII، انگلستان)، زمان هم زدن 15 min (همزن IKA آلمان) و سرعت هم زدن 120 rpm بود. در پایان فرآیند عملیات برای جداسازی کرین فعال پودری استفاده شده از ملاس رقیق تیمار

$R_L < 1$: همدمایی جذب مطلوب، $R_L = 1$: همدمایی جذب خطی و $R_L > 1$: همدمایی جذب نامطلوب است.

۲-۳-۲- همدمایی جذب فروندلیچ

همدمایی جذب فروندلیچ برای جذب تک لایه‌ای و همچنین برای جذب چندلایه‌ای می‌باشد. در این مورد بر این فرض استوار است که جذب شونده روی سطح غیرهمگن یک جاذب جذبی شود^[۱۹]. فرم خطی معادله فروندلیچ به صورت معادله (۴) می‌باشد:

(۴)

که: C_e : غلظت ناچالصی مورد نظر در محلول در لحظه تعادل یا غلظت تعادلی (mg L^{-1}), q_e : مقدار ناچالصی جذب شده به ازای واحد جرم جاذب در شرایط تعادل (mg g^{-1}), K_f : ضریب ثابت فروندلیچ مربوط به ظرفیت جذب (L^{-1}) و n : شدت جذب می‌باشد. وقتی که منحنی $\log q_e$ بر حسب $\log C_e$ رسم می‌شود، یک خط راست با شیب $1/n$ (شاخصی از شدت جذب) و عرض از مبدأ $\log K_f$ (شاخصی از ظرفیت جذب) به دست می‌آید. اگر مقدار $1/n$ کمتر از ۱ باشد، بیانگر جذب همدما فروندلیچ خواهد بود. از نرمافزار اکسل ۲۰۱۰ برای رسم منحنی‌ها، تعیین معادلات و ضریب تبیین استفاده شد.

۴-۲- روش تجزیه و تحلیل آماری

برای بررسی اثر غلظت‌های مختلف کربن فعال پودری بر ویژگی‌های مورد بررسی، از روش طرح کاملاً تصادفی استفاده شد. آنالیز واریانس به روش ANOVA و مقایسه میانگین‌ها با روش آزمون چند دامنه‌ای دانکن در سطح احتمال $0.05 < p < 0.01$ و با استفاده از نرمافزار SAS نسخه ۹/۲ انجام شد. آزمایشات در سه تکرار انجام گرفت و جهت رسم شکل‌ها از از نرمافزار اکسل ۲۰۱۰ استفاده گردید.

۳- نتایج و بحث

۱-۳- تاثیر غلظت‌های مختلف کربن فعال پودری بر ویژگی‌های فیزیکی شیمیایی ملاس رقیق چغندر قند

مقدار فل کل از منحنی استاندارد رسم شده با استفاده از اسید گالیک استفاده گردید.

۷-۲- مقدار آنتوسیانین کل

برای اندازه‌گیری مقدار آنتوسیانینکل نمونه‌ها از روش اختلاف pH استفاده شد^[۱۷]. در این روش میزان جذب دو رقت تهیه شده با دستگاه اسپکتروفتومتر در طول موج‌های ۵۲۰ و ۷۰۰ nm اندازه‌گیری شدند و با استفاده از معادله مربوطه آنتوسیانین کل محاسبه گردید.

۳-۲- روش محاسبه با استفاده از مدل‌های

همدمایی جذب

۱-۳-۲- مدل همدمای جذب لانگمویر

در همدمایی جذب لانگمویر فرض بر این است که تنها یک لایه جذب شونده به صورت یکنواخت با تعداد محدود مکان‌های جذب بر روی سطح جاذب تشکیل می‌شود. فرم خطی مدل همدمای جذب لانگمویر^[۱۸] به صورت معادله زیر می‌باشد:

$$\frac{C_e}{q_e} = \frac{1}{q_m K_L} + \frac{C_e}{q_m} \quad (1)$$

که: C_e : غلظت ناچالصی مورد نظر در محلول در لحظه تعادل یا غلظت تعادلی (mg L^{-1}), q_e : مقدار ناچالصی جذب شده به ازای واحد جرم جاذب در شرایط تعادل (mg g^{-1}), q_m : حداقل ناچالصی جذب شده (mg kg^{-1}) (ظرفیت جذب بیشینه) و K_L : ثابت تعادل جذب (g L^{-1}) (در دمای معین) مربوط به انرژی جذب است. برای محاسبه K_L می‌توان از رابطه (۲) استفاده کرد:

$$K_L = q_m \times b \quad (2)$$

که در آن، b : شیب و q_m : عرض از مبدأ معادله خطی رسم شده می‌باشد.

پارامتر اصلی معادله لانگمویر که شکل منحنی همدمایی جذب را نشان می‌دهد، یک ثابت بدون بعد به نام پارامتر تعادل یا R_L است که با استفاده از معادله (۳) تعیین می‌شود:

$$R_L = \frac{1}{1 + bC_0} \quad (3)$$

که در آن، C_0 : غلظت اولیه ناچالصی مورد نظر (mg L^{-1}) است. مقدار $R_L = 1$: بیانگر همدمایی جذب غیر قابل برگشت،

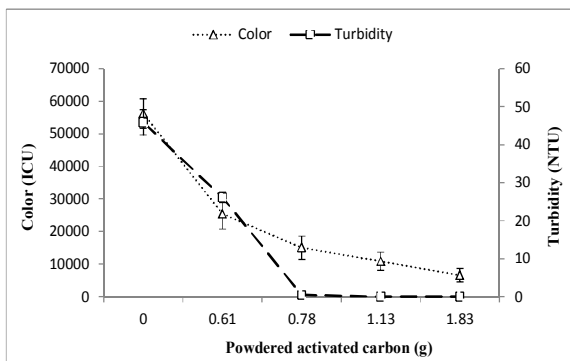


Fig 1 Impact of powdered activated carbon (0.61, 0.78, 1.13 and 1.83 g 100g⁻¹ dilute molasses) at pH 4.5 on sugar beet dilute molasses color and turbidity.

در بررسی تغییرات مربوط به شفافیت ملاس رقیق، مشاهده شد که با افزایش مقدار کربن فعال پودری از ۰/۶۱ به ۱/۸۳ g در ۰/۴۵، مقدار شفافیت از ۲۴ به ۹۹/۳٪ (افزایش ۷۵/۸۳٪) افزایش یافت (شکل ۲). همچنین نتایج نشان داد که با افزایش مقدار کربن فعال پودری، شفافیت به طور معنی‌دار در ملاس رقیق افزایش یافت ($p < 0.05$) (شکل ۲). با افزایش غلظت کربن فعال پودری توانایی جذب شیمیایی ناخالصی‌های مانند رنگ و کدورت افزایش یافت که باعث افزایش شفافیت نمونه‌ها شد.

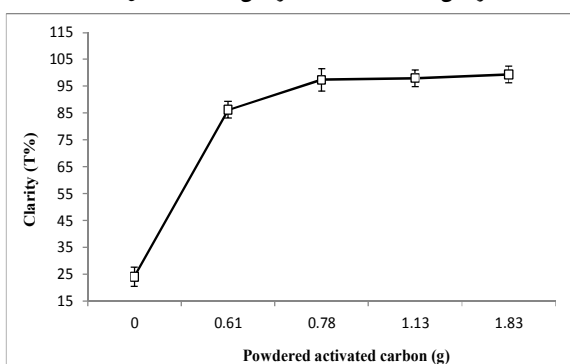


Fig 2 Impact of powdered activated carbon (0.61, 0.78, 1.13 and 1.83 g 100g⁻¹ dilute molasses) at pH 4.5 on sugar beet dilute molasses clarity.

با در نظر گرفتن نتایج مشاهده شده مربوط به کاهش قابل توجه ترکیبات رنگی و کدورت و افزایش قابل ملاحظه‌ی شفافیت (شکل‌های ۱ و ۲)، مقدار ۰/۸۳ g کربن فعال پودری در ۰/۴۵ pH مناسب‌ترین مقدار تعیین شد.

افزایش مقدار جذب ناخالصی‌ها از ملاس رقیق چغمدرازنده با تغییر pH از ۰/۹ به ۰/۵ از طریق جذب ترکیبات رنگی، کدورت و سایر ناخالصی‌ها با استفاده از کربن فعال پودری کاملا مشهود بود. این موضوع ناشی از تغییر میزان یونیزاسیون گروه‌های عاملی موجود در جایگاه‌های جذب و در نتیجه تغییر بار سطح جاذب (کربن فعال پودری) و همچنین میزان یونیزاسیون ناخالصی‌های موجود در ملاس رقیق در طی تیمار می‌باشد. به طور مشابهی فرمانی و اسماعیلی (۲۰۱۷) گزارش کردند که بیشترین مقدار جذب ناخالصی‌های ملاس رقیق در ۰/۵ pH حاصل می‌شود. به طوری که با افزایش غلظت کربن فعال پودری از ۰/۶۱ به ۱/۸۳ g بر ۱۰۰ g ملاس رقیق در ۰/۵ pH، رنگ، کدورت، فتل کل، آنتوسیانین کل و پروتئین به ترتیب ۸۸/۳۱٪، ۱۰۰٪، ۷۵/۸۳٪، ۸۶/۳۹٪ و ۹۸/۵۱٪ کاهش و شفافیت ۷۵/۸۳٪ افزایش یافت.^[۱۹]

مقادیر ترکیباتی که می‌تواند از محلول قندی توسط کربن فعال حذف شود بستگی به عواملی مانند زمان تماس، مقدار کربن فعال، دما، غلظت یا ویسکوزیته محلول قندی و ماهیت خود کربن فعال دارد.^[۲۰] با توجه به بررسی حذف ترکیبات رنگی از محلول قندی با مقادیر مختلف کربن فعال، مشاهده شد که بیشترین کارآیی رنگبری در زمان تماس ۱۰–۱۵ min اولیه بوده و بعد از آن با صرف زمان بیشتر، رنگبری از محلول قندی مشاهده نشد.^[۷]

در بررسی تغییرات هم‌مان ترکیبات رنگی و کدورت ملاس رقیق، مشاهده شد که با افزایش مقدار کربن فعال پودری از ۰/۶۱ به ۱/۸۳ g در ۰/۵ pH، ترکیبات رنگی (از ۵۶۲۵۵/۲۷ به ۶۵۷۳/۴۷ ایکومزا) و کدورت (از ۴۵/۸۵ به ۰ NTU) به ترتیب ۱۰۰٪ و ۸۸/۳۱٪ کاهش یافته‌اند (شکل ۱).

شکل ۱ نشان می‌دهد که با افزایش غلظت کربن فعال پودری، ترکیبات رنگی و کدورت به طور معنی‌دار کاهش یافته است ($p < 0.05$). بنابراین، کربن فعال پودری قابلیت جذب شیمیایی مانند ترکیبات رنگی و کدورت زا دارد.

نتایج آزمایشات نشان داد که با افزایش مقدار کربن فعال پودری از ۰/۶۱ به ۱/۸۳ g در pH ۴/۵، مقدار پروتئین ملاس رقیق از ۲۱۱ به ۳۱۵ mg معادل پروتئین آلبومین سرم گاوی در ۱۰۰ mL نمونه (کاهش ۹۸/۵۱٪) رسید (شکل ۴).

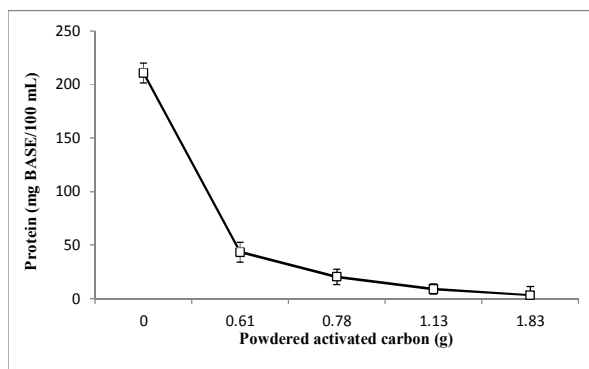


Fig 4 Impact of powdered activated carbon (0.61, 0.78, 1.13 and 1.83 g 100g⁻¹ dilute molasses) at pH 4.5 on sugar beet dilute molasses protein.

با توجه به شکل‌های ۳ و ۴ به ترتیب مربوط به کاهش فنل کل، آنتوسیانین کل و پروتئین، g ۱/۸۳ کربن فعال پودری در pH ۴/۵ مناسب‌ترین غلظت برای حذف ناخالصی‌ها از ملاس رقیق بود.

۲-۳ مدل‌سازی همدماجذب تعادلی

ناخالصی‌ها

نتایج بررسی همدماجذب ناخالصی‌ها در جدول ۶ آورده شده است. در یک سیستم دو جزیی شامل جاذب (کربن فعال پودری) و مواد حلشده (ناخالصی‌ها)، نموداری بین غلظت ناخالصی‌های جذب شده روی فاز جامد (q_e) و ناخالصی‌های موجود در فاز مایع، در حالت تعادل (C_e)، یک همدماجذب سطحی در محلول را بیان می‌کند. در سیستم مایع-جامد، جذب سطحی نتیجه جداسازی ماده یا مواد حل شده از محلول بر روی سطح جامد است تا این که بین ماده حل شده باقیمانده در محلول با ماده جذب شده روی سطح جامد تعادل دینامیکی به وجود آید. در حالت تعادل یک محدودیت در توزیع ماده حل شده بین فازهای مایع و جامد وجود دارد که می‌تواند با همدماجذب جذب متعدد توضیح داده شود. مدل‌های همدماجذب لانگمویر و فروندلیچ اغلب برای تعیین همبستگی بین داده‌های تجربی استفاده می‌شوند که این داده‌ها برای تعیین پارامترهای مدل‌ها به کار می‌روند [۲۳]. در بررسی پدیده همدماجذب با

کربن فعال پودری باعث حذف اکثر ترکیبات رنگی و ناخالصی‌ها از لیکور شکر می‌شود. علاوه بر این، کربن فعال دارای برخی از گروه‌های عاملی اکسیژن‌دار می‌باشد که باعث جذب شیمیایی ملکول‌های قطبی می‌شود [۸]. کربن فعال ظرفیت بالایی برای جذب ترکیبات آلی دارد و در نتیجه به طور وسیع در صنعت برای کاهش ترکیبات پلی فنل استفاده می‌گردد [۲۱]. قبل از این که ناخالصی‌ها بتوانند توسط کربن فعال حذف شوند باید از طریق انتشار به داخل منافذ کربن فعال رسیده و خود را در موقعیت مناسب قرار دهنند. ملکول‌های پلی‌مری خیلی بزرگ امکان انتشار به داخل کربن فعال را نداشته و محدود به جذب شدن در سطح می‌باشند. در حالی که ترکیبات کوچک‌تر بیشتر به داخل کربن فعال رسیده و اکثر مکان‌های قابل استفاده و مناسب را به دست می‌آورند. به طوری که توزیع اندازه منافذ در کربن فعال، به طور اساسی در تعیین مقادیر نسبی و نرخ حذف انواع مختلف ناخالصی‌ها مهم می‌باشد [۲۲].

در بررسی تغییرات همزمان ترکیبات فنلی و آنتوسیانین مشاهده شد که با افزایش مقدار کربن فعال پودری از ۰/۶۱ به ۱/۸۳ g در pH ۴/۵، فنل کل از ۸۳/۹ به ۱۹/۷ mg ۱۹/۷ میلی‌لتر اسید گالیک در ۱/۴۷ mL ۱۰۰ نمونه (کاهش ۷۷/۵۲٪) و آنتوسیانین کل از ۰/۲ به ۰/۰۲ mg در ۱۰۰ g نمونه (کاهش ۸۶/۳۹٪) رسید (شکل ۳). نتایج آزمایشات نشان دهنده قابلیت افزایش جذب شیمیایی فنل کل و آنتوسیانین کل با افزایش مقدار کربن فعال پودری بود.

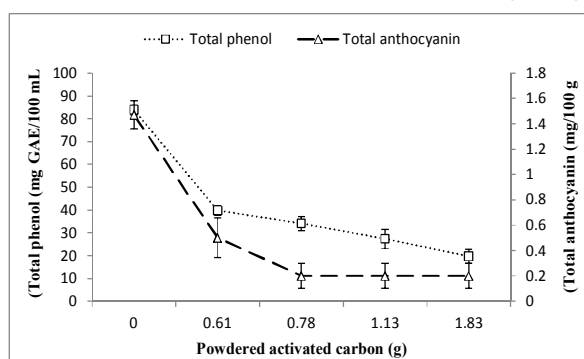


Fig 3 Impact of powdered activated carbon (0.61, 0.78, 1.13 and 1.83 g 100g⁻¹ dilute molasses) at pH 4.5 on sugar beet dilute molasses total phenol and total anthocyanin.

نشان داد. شبیب جذب ترکیبات رنگی در مدل فروندلیچ در مقایسه با مدل لانگمویر حالت مالایمتری داشت. همچنین، به دلیل این که مقدار عددی $1/n$ در مدل فروندلیچ بین $0 < 1/n < 1$ بود، بیانگر همدماجی جذب فروندلیچ بود. در نتیجه، می‌توان بیان داشت که جاذب (کربن فعال پودری) حالت ناهمگنی نسبت به جذب انواع ترکیبات رنگی داشت. در مدل لانگمویر پارامتر تعادل برابر صفر، بیانگر این موضوع بود که در این مدل همدماجی جذب غیر قابل برگشت در حالت تعادل بین فاز جامد-مایع وجود داشت که این مدل را برای آنالیز داده‌های تجربی نامناسب می‌سازد.

استفاده از مدل‌های لانگمویر و فروندلیچ باید به پارامترهای اصلی مانند ضریب تبیین (R^2)، حدکثر ناخالصی جذب شده (q_m)، ضریب b ، پارامتر تعادل (R_L)، ظرفیت جذب (K_f)، ضریب $1/n$ و شدت جذب (n) توجه کرد. با کمک داده‌های تجربی بدست آمده از آزمایشات، پارامترهای اصلی مدل بر اساس معادلات ریاضی مشخص می‌شوند.

در تفسیر جذب ترکیبات رنگی از ملاس رقیق چغندرقند با استفاده از مقادیر مختلف جاذب در $pH = 4/5$ (جدول ۱)، می‌توان بیان کرد که مدل فروندلیچ ضریب تبیین بالاتری نسبت به مدل لانگمویر داشت. مدل فروندلیچ ظرفیت جذب ترکیبات رنگی بسیار بالاتری را با شدت جذب $2/1973$ نسبت به مدل لانگمویر

Table 1 Coefficients of Langmuir and Freundlich sorption isotherm models for color (Adsorbent: powdered activated carbon, 75 °C, 15 min processing time and 120 rpm stirring).

Color	Langmuir model			Linear equation	
	R^2	q_m (mg/kg)	b	R_L	$Y=0.8672x-0.3253$
	0.8554	0.3253	0.8672	0.0000	
Color	Freundlich model			Linear equation	
	R^2	K_f (mg/L)	$1/n$	n	$Y=-0.4551x+5.0794$
	0.9605	5.0794	0.4541	2.1973	

بررسی ضرایب معادلات ریاضی جدول ۱ نشان داد که ضریب تبیین و ظرفیت جذب ترکیبات رنگی مدل فروندلیچ در مقایسه با مدل لانگمویر در حد بالایی قرار دارد. بنابراین، می‌توان نتیجه گرفت که جذب رنگ ملاس رقیق چغندرقند توسط جاذب از مدل فروندلیچ تبعیت می‌کند. به طوری که، مدل فروندلیچ برای همدماجی جذب ترکیبات رنگی با استفاده از کربن فعال پودری در سیستم واقعی پیشنهاد شد. در مورد جذب ترکیبات کدورت‌زا از ملاس رقیق چغندرقند (جدول ۲)، می‌توان بیان کرد که مدل فروندلیچ ضریب تبیین بالاتری در مقایسه با مدل لانگمویر داشت. مدل فروندلیچ ظرفیت جذب کدورت بسیار بالاتری را با شدت جذب $1/5623$

نسبت به مدل لانگمویر نشان داد. شبیب جذب ترکیبات کدورت‌زا در مدل فروندلیچ نسبت به مدل لانگمویر تندتر بود. همچنین، به دلیل این که مقدار عددی $1/n$ در مدل فروندلیچ بین $0 < 1/n < 1$ بود، بیانگر همدماجی جذب فروندلیچ بود. در نتیجه، می‌توان گفت که جاذب (کربن فعال پودری) حالت ناهمگنی نسبت به جذب ترکیبات کدورت‌زا داشت. در مدل لانگمویر پارامتر تعادل برابر $R_L = 0.0822$ (جدول ۱)، بیانگر این موضوع است که همدماجی جذب مطلوب در حالت تعادل بین فاز جامد-مایع وجود داشت که این مدل را برای آنالیز داده‌های تجربی مناسب ساخت.

Table 2 Coefficients of Langmuir and Freundlich sorption isotherm models for turbidity (Adsorbent: powdered activated carbon, 75 °C, 15 min processing time and 120 rpm stirring).

Turbidity	Langmuir model			Linear equation	
	R^2	q_m (mg/kg)	b	R_L	$Y=-0.2434+0.8139$
	0.6152	0.8139	0.2434	0.0822	
Turbidity	Freundlich model			Linear equation	
	R^2	K_f (mg/L)	$1/n$	n	$Y=-0.6401+2.2679$
	0.7019	2.2779	0.6401	1.5632	

لانگمویر نشان داد. شبیه جذب ترکیبات فنولی در مدل فروندلیچ نسبت به مدل لانگمویر حالت ملایم‌تری داشت. همچنین، به دلیل این که مقدار عددی $1/n$ در مدل فروندلیچ بین $0 < 1/n < 1$ بود، می‌توان گفت که جاذب (کربن فعال پودری) حالت ناهمگنی نسبت به جذب ترکیبات فنولی داشت. در مدل لانگمویر پارامتر تعادل برابر $R_L = 0.83$ (بنابراین $R_L < 1$)، بیانگر این موضوع بود که همدمای جذب مطلوب در حالت تعادل بین فاز جامد-مایع وجود داشت که نشان دهنده مناسب بودن این مدل برای آنالیز داده‌های تجربی است.

بررسی ضرایب معادلات ریاضی جدول ۲ نشان داد که مقادیر ضریب تبیین و ظرفیت جذب کدورت مدل فروندلیچ در مقایسه با مدل لانگمویر بیشتر است. در نتیجه، با وجود برتری نسبی ضریب تبیین در مدل فروندلیچ نسبت به مدل لانگمویر هیچ کدام در مورد حذف کدورت از ملاس رقیق پیشنهاد نشد. در جذب ناخالصی ترکیبات فنولی از ملاس رقیق چغدرقند (جدول ۳)، مشاهده می‌شود که مدل فروندلیچ ضریب تبیین بالاتری در مقایسه با مدل لانگمویر داشت. مدل فروندلیچ ظرفیت جذب ترکیبات فنولی زیاداً شدت جذب $Y=0.7434$ نسبت به مدل

Table 3 Coefficients of Langmuir and Freundlich sorption isotherm models for phenolic compounds (Adsorbent: powdered activated carbon, 75 °C, 15 min processing time and 120 rpm stirring).

Phenolic compounds	Langmuir model			Linear equation	
	R^2	q_m (mg/kg)	b	R_L	$Y=1.2304x+0.5584$
Freundlich model					
Phenolic compounds	R^2	K_f (mg/L)	$1/n$	n	$Y=-0.3786x+0.9755$
0.5982	0.5584	1.2304	0.0883		
0.7605	0.9755	0.3786	2.6434		

خیلی کمتری اما با شدت جذب ($n = 0.6316$) در مقایسه با مدل لانگمویر نشان داد. شبیه جذب آنتوسیانین در مدل فروندلیچ نسبت به مدل لانگمویر حالت ملایم‌تری داشت. همچنین، به دلیل این که مقدار عددی $1/n$ در مدل فروندلیچ بین $0 < 1/n < 1$ بود، بیانگر همدمای جذب فروندلیچ بود. در نتیجه، می‌توان گفت که جاذب (کربن فعال پودری) حالت ناهمگنی نسبت به جذب آنتوسیانین داشت. در مدل لانگمویر پارامتر تعادل برابر $R_L = 0.829$ (بنابراین $R_L < 1$)، بیانگر این موضوع بود که همدمای جذب مطلوب در حالت تعادل بین فاز جامد-مایع وجود داشت و این مدل برای آنالیز داده‌های تجربی مناسب است.

بررسی ضرایب معادلات ریاضی جدول ۳ نشان داد که ضریب تبیین و ظرفیت جذب ترکیبات فنولی مدل فروندلیچ در مقایسه با مدل لانگمویر در سطح بالایی قرار داشت. بنابراین، می‌توان نتیجه گیری کرد که جذب ترکیبات فنولی ملاس رقیق چغدرقند توسط جاذب از مدل فروندلیچ تعییت می‌کند. در نهایت، مدل فروندلیچ برای همدمای جذب ترکیبات فنولی با استفاده از کربن فعال پودری در سیستم واقعی پیشنهاد شد. در جذب آنتوسیانین از ملاس رقیق چغدرقند (جدول ۴)، نتایج نشان می‌دهد که مدل فروندلیچ ضریب تبیین خیلی کمتری نسبت به مدل لانگمویر داشت. مدل فروندلیچ ظرفیت جذب آنتوسیانین

Table 4 Coefficients of Langmuir and Freundlich sorption isotherm models for anthocyanin (Adsorbent: powdered activated carbon, 75 °C, 15 min processing time and 120 rpm stirring).

Anthocyanin	Langmuir model			Linear equation	
	R^2	q_m (mg/kg)	b	R_L	$Y=-0.1464x+0.5749$
Freundlich model					
Anthocyanin	R^2	K_f (mg/L)	$1/n$	n	$Y=-0.019x-0.0062$
0.5456	0.5749	0.1464	0.8229		
0.0089	0.0062	0.019	52.6316		

جذب پروتئین در مدل فروندلیچ نسبت به مدل لانگمویر خیلی بیشتر بود. همچنین، به دلیل این که مقدار عددی $1/n$ در مدل فروندلیچ بین $0 < 1/n < 1$ بود، بیانگر برآش داده‌ها با مدل همدماهی جذب فروندلیچ بود. در نتیجه، می‌توان گفت که جاذب (کربن فعال پودری) حالت ناهمگنی نسبت به جذب پروتئین نشان داد. پارامتر تعادل برابر $0.1457 < R_L < 1$ بیان کننده این موضوع بود که در مدل لانگمویر همدماهی جذب مطلوب در حالت تعادل بین فاز جامد-مایع وجود داشت که این مدل برای آنالیز داده‌های تجربی مناسب ساخت.

بررسی ضرایب معادلات ریاضی جدول ۵ نشان داد که مقادیر ضریب تبیین و ظرفیت جذب ترکیبات آنتوسیانین مدل لانگمویر در مقایسه با مدل فروندلیچ زیادتر است. با وجود برتری نسبی ضریب تبیین در مدل لانگمویر نسبت به مدل فروندلیچ هیچ کدام در مورد حذف آنتوسیانین پیشنهاد نشد.

نتایج مدل سازی جذب پروتئین از ملاس رقیق چغندرقند (جدول ۵)، نشان داد که مدل فروندلیچ ضریب تبیینی‌تری نسبت به مدل لانگمویر داشت. مدل فروندلیچ ظرفیت جذب پروتئین بیشتری با شدت جذب $1/9314$ در مقایسه با مدل لانگمویر نشان داد. شبیه

Table 5 Coefficients of Langmuir and Freundlich sorption isotherm models for protein (Adsorbent: powdered activated carbon, 75 °C, 15 min processing time and 120 rpm stirring).

Protein	Langmuir model			Linear equation	
	R ²	q _m (mg/kg)	b	R _L	Y=0.2779x-0.0121
Freundlich model					
Protein	R ²	K _f (mg/L)	1/n	n	Linear equation
	0.9679	1.9314	0.632	1.5823	Y=-0.632x+1.9314

مدل فروندلیچ برای همدماهی جذب ترکیبات پروتئینی با استفاده از کربن فعال پودریدر ملاس رقیق چغندرقند پیشنهاد شد.

بررسی ضرایب معادلات ریاضی جدول ۵ نشان داد که ضریب تبیین و ظرفیت جذب ناخالصی پروتئین مدل فروندلیچ در مقایسه با مدل لانگمویر در سطح بالاتر قرار داشت. در نتیجه،

Table 6 Coefficients of Langmuir and Freundlich sorption isotherm models for clarity (Adsorbent: powdered activated carbon, 75 °C, 15 min processing time and 120 rpm stirring).

Clarity	Langmuir model			Linear equation	
	R ²	q _m ((Light passing percentage))	b	R _L	Y=31.804x+108.93
Freundlich model					
Clarity	R ²	K _f (Light passing percentage)	1/n	n	Linear equation
	0.8695	2.6608	0.7902	1.2655	Y=-0.7902x+2.6608

لانگمویر خیلی کمتر بود. در مدل فروندلیچ، به دلیل این که مقدار عددی $1/n$ بین $0 < 1/n < 1$ بود، بیانگر برآش مدل همدماهی جذب فروندلیچ بود. در نتیجه، می‌توان گفت که جاذب (کربن فعال پودری) حالت ناهمگنی نسبت به افزایش شفافیت نشان داد. در مدل لانگمویر پارامتر تعادل برابر $0.0013 < R_L < 1$ نشان داد. شبیه افزایش شفافیت در مدل فروندلیچ نسبت به مدل

در مورد افزایش شفافیت ملاس رقیق چغندرقند (جدول ۶)، می‌توان بیان کرد که مدل فروندلیچ ضریب تبیین بالای نسبت به مدل لانگمویر داشت. مدل فروندلیچ ظرفیت جذب ناخالصی‌ها خیلی کمتر با شدت جذب $1/2655$ در مقایسه با مدل لانگمویر نشان داد. شبیه افزایش شفافیت در مدل فروندلیچ نسبت به مدل

- of sugar from sugar beet. *Sugar Technology Review*, 6(1): 49-115.
- [2] Nooshkam, M., Varidi, M., & Verma, D. K. 2020. Functional and biological properties of Maillard conjugates and their potential application in medical and food: A review. *Food Research International*, 131, 109003.
- [3] Saroj, S.B., Surendra N.D. and Pradip R. 2006. Hexavalent chromium removal from aqueous solution by adsorption on treated sawdust. *Journal of Biochemical Engineering*, 31(3): 216-222.
- [4] Oladoja, N.A., Aboluwoye. C.O. and Akinkugbe, A.O. 2009. Evaluation of loofah as a sorbent in the decolorization of basic dye contaminated aqueous system. *Industrial and Engineering Chemistry Research*, 48: 2786–2794.
- [5] Bernardo, E.C., Egashira, R. and Kawasaki, J. 1997. Decolorization of molasses and wastewater using activated carbon prepared from cane bagasse. *Carbon journal*, 35 (9): 1217-1221.
- [6] Laksameethasan, P., Somla, N., Janprem, S. and Phochuen, N. 2012. Clarification of sugarcane juice for syrup production. *Procedia Engineering*, 32: 141 – 147.
- [7] Nachat, N., Obarameekul, P. and Worathanakul, P. 2014. Activated carbon from bagasse for syrup decolorization as an alternative for waste management and the assessment of carbon footprint. *Environment and Natural Resources*, 12 (2): 66-73.
- [8] Davis, S.B. 2001. The chemistry of colour removal: A processing perspective. *Proc. African Sugar Technology Ass.*, 75: 328-336.
- [9] Caqueret, V., Bostyn, S., Cagnon, B. and Fauduet, H. 2008. Purification of sugar beet vinasse-Adsorption of polyphenolic and dark colored compounds on different commercial activated carbons. *Journal of Bioresource Technology*, 99: 5814-5821.
- [10] Golbabaei, F., Ghahri, A., Soudi, M.R., RahimiForoushani, A. and Tireghar, A. 2011. Balance studies and kinetics of biosorption of hexavalent chromium from aqueous solutions using xanthan B82 polymer beads. *Iranian Journal of Chemistry and Chemical Engineering*, 30 (30): 11-24.
- [11] Farmani, B. and Ismaeili, M. 2017. Removal of colorants and impurities from

($R_L < 1$), بیانگر این موضوع بود که همدماج افزایش شفافیت مطلوب در حالت تعادل بین فاز جامد-مایع وجود داشت که این مدل برای آنالیز داده‌های تجربی مناسب ساخت. بررسی ضرایب معادلات ریاضی جدول ۶ نشان داد که مقادیر ضریب تبیین مدل فروندلیچ نسبت به مدل لانگمویر بیشتر بود، اما مقدار ظرفیت جذب و در نتیجه افزایش شفافیت مدل لانگمویر در مقایسه با مدل فروندلیچ بیشتر بود. بنابراین، می‌توان گفت که افزایش شفافیت ملاس رقیق از مدل‌های فروندلیچ و لانگمویر تبعیت نمی‌کند. پیشنهاد شد که مدل فروندلیچ-لانگمویر که مدل ترکیبی می‌باشد برای همدماج افزایش شفافیت با استفاده از کربن فعال پودری در سیستم واقعی استفاده شود.

۴- نتیجه‌گیری

نتایج این تحقیق نشان داد که با تغییر pH از ۴/۵ به ۸/۹ جذب ترکیبات رنگی، دورت و سایر ناخالصی‌ها با استفاده از کربن فعال پودری باعث حذف ناخالصی‌ها از ملاس رقیق چغندر قند شد. نتایج بررسی ضرایب معادلات ریاضی نشان داد که مدل‌های همدماج جذب فروندلیچ و لانگمویر در پیش‌بینی ترکیبات رنگی، عوامل دورت‌زا، ترکیبات فنولی، کاهش ترکیبات آنتوسيانینی، بروتین و شفافیت ملاس رقیق چغندر قند قابل استفاده می‌باشد. در تحقیقات پیشین از مدل‌های فروندلیچ و لانگمویر فقط در سیستم‌های حاوی یک نوع ترکیبی عنصر فلزی خاص استفاده شده بود. در حالی که نتایج بدست آمده از این تحقیق حاکی از آن است که این مدل‌ها در ارزیابی سیستم‌های واقعی نیز مفید هستند. بر اساس نتایج، مدل فروندلیچ برای پیش‌بینی حذف رنگ، ترکیبات فنولی و پروتین‌های تواند کاربرد خوبی داشته باشد، در مقابل جذب‌عامل کدورت‌زا و آنتوسيانین‌ها هیچ کدام از مدل‌ها تبعیت نکردند. استفاده از مدل ترکیبی فروندلیچ-لانگمویر برای همدماج افزایش شفافیت با استفاده از کربن فعال پودری در سیستم واقعی توصیه می‌شود.

۵- منابع

- [1] Madsen, R.F., Kotfod-Nielsen, W., Winstrom-Olsen, B. and Nielsen, T.E. 1978. Formation of color compounds in production

- [18] Elouear, Z., Bouzid, J., Boujelben, N., Feki, M., Jamoussi, F., and Montiel, A. 2008. Heavy metal removal from aqueous solutions by activated phosphate rock. *Journal of Hazard Material*, 156 (3): 412-420.
- [19] Jain, C.K., Singhal, D.C., and Sharma, M.K. 2004. Adsorption of zinc on bed sediment of river hindon: Adsorption models and kinetics. *Journal of Hazard Material*, 114 (3): 231-239.
- [20] Qureshi, K., Bhatti, I., Kazi, R. and Ansari, A. 2008. Physical and chemical analysis of activated carbon prepared from sugarcane bagasse and use for sugar decolorization. *International Journal of Chemical and Biomolecular Engineering*, 1(3): 145-149.
- [21] Caqueret, V., Bostyn, S., Cagnon, B. and Fauduet, H. 2012. Removal of dark coloured and polyphenolic compounds of sugar beet vinasse by adsorption onto activated carbons: application to a crosscurrent adsorption process. *The Canadian Journal of chemical engineering*, 90: 403-411.
- [22] De ridder, D.J. 2012. Adsorption of organic micropollutants onto activated carbon and zeolites. By Water Management Academic Press, Doctoral thesis, pp: 23.
- [23] TehraniBagha, A., Mahmoudi, N. Markazi, M. And Talayinejad, A. 2009. Decolorization of wastewater containing a cationic dye using low-cost kaolin adsorbents. *Journal of Color Science and Technology*, 3 (3): 145-155.
- sugar beet final molasses using powdered activated carbon to produce liquid invert sugar. *Iranian Journal of Food Science and Technology*, 14 (68): 171-180.
- [12] ICUMSA. (1994). International Commission for Uniform Methods of Sugar Analysis. ICUMSA Methods Book.
- [13] Donovan, M. and Lee, E. 1995. Filterability of raw sugars laboratory tests versus refinery performance. *Int. Sugar journal*, 97(1155): 104-110.
- [14] Bodbobak, S., Kashaninejad, M., Hesari, J. And Razavi, C.M.A. 2009. The effect of different clarification treatments with classical method on physicochemical and rheological properties of pomegranate juice. *Electronic Journal of Food Processing and Preservation*, 1 (2): 1-16.
- [15] Bradford, M.M. 1976. A rapid and sensitive method for the quantitation of microgram quantities of protein utilizing the principle of protein-dye binding. *Analytical Biochemistry*, 72: 248-254.
- [16] Singleton, V.L., Orthofer, R. and Lamuela-Raventos, R. M. 1999. Analysis of total phenols and other oxidation substrates and antioxidants by means of Folin-Ciocalteu reagent. *Methods Enzymol*, 299: 152-178.
- [17] Chen, m., Zhao, Y. and Yu, S. 2015. Optimization of ultrasonic-assisted extraction of phenolic compounds, antioxidants, and anthocyanins from sugar beet molasses. *Journal of Food Chemistry*, 172: 543-550.

Investigation of sorption isotherm models on remove ability sugar beet dilute molasses impurities using powdered activated carbon

Farmani, B. ^{1*}, Bodbodak, S. ¹, Dadashi, S. ²

1. Assistant Professor of Department of Food Science and Technology, Ahar Faculty of Agriculture and Natural Resources, University of Tabriz

2. Assistant Professor of Department of Food Science and Technology, Faculty of Agriculture, University of Tabriz

(Received: 2020/02/12 Accepted: 2020/08/01)

Powdered activated carbon has high adsorption capacity with the remarkable nonpolar surface. The surface forces (van der Waal's and London) create a stronger attraction between the carbon surface and impurities in comparison to present molecules in dilute molasses. The aim of the study was to adsorb types of impurities such as colorants, turbidity agents, phenolic compounds, anthocyanin and protein of dilute molasses (35% sugar beet dilute molasses) using powdered activated carbon at 4 levels (0.61, 0.78, 1.13, and 1.83 g 100g⁻¹ dilute molasses) at pH 4.5. Further, Freundlich and Langmuir sorption isotherm models were evaluated to predict reduction of impurities. The results of equilibrium isotherms based on the coefficient of determination and adsorption capacity exhibited that the adsorption of impurities such as colorants ($R^2 = 0.9605$ and $K_f = 5.0794$), phenolic compounds ($R^2 = 0.7605$ and $K_f = 0.9755$) and protein ($R^2 = 0.9679$ and $K_f = 1.9314$) didn't follow from Freundlich model. Turbidity agents and anthocyanin didn't follow any of the studied models.

Keywords: Sugar beet dilute molasses, Sorption isotherm, Powdered activated carbon, Impurity.

* Corresponding Author E-Mail Address: bfarmani@tabrizu.ac.ir